



Méthodes à haute résolution

Roland Badeau,
roland.badeau@telecom-paris.fr

Master Sciences et Technologies
Parcours ATIAM - UE TSM



- ▶ Les sons qui engendrent une sensation de hauteur tonale bien définie ont une forme d'onde quasi-périodique

- ▶ Les sons qui engendrent une sensation de hauteur tonale bien définie ont une forme d'onde quasi-périodique
- ▶ Spectres d'harmoniques multiples du fondamental :

- ▶ Les sons qui engendrent une sensation de hauteur tonale bien définie ont une forme d'onde quasi-périodique
- ▶ Spectres d'harmoniques multiples du fondamental :
 - ▶ sons de parole voisés, produits par vibration quasi-périodique des cordes vocales

- ▶ Les sons qui engendrent une sensation de hauteur tonale bien définie ont une forme d'onde quasi-périodique
- ▶ Spectres d'harmoniques multiples du fondamental :
 - ▶ sons de parole voisés, produits par vibration quasi-périodique des cordes vocales
 - ▶ sons produits par des instruments à cordes ou à vent

- ▶ Les sons qui engendrent une sensation de hauteur tonale bien définie ont une forme d'onde quasi-périodique
- ▶ Spectres d'harmoniques multiples du fondamental :
 - ▶ sons de parole voisés, produits par vibration quasi-périodique des cordes vocales
 - ▶ sons produits par des instruments à cordes ou à vent
- ▶ La propriété d'harmonicité n'est pas toujours vérifiée :

- ▶ Les sons qui engendrent une sensation de hauteur tonale bien définie ont une forme d'onde quasi-périodique
- ▶ Spectres d'harmoniques multiples du fondamental :
 - ▶ sons de parole voisés, produits par vibration quasi-périodique des cordes vocales
 - ▶ sons produits par des instruments à cordes ou à vent
- ▶ La propriété d'harmonicité n'est pas toujours vérifiée :
 - ▶ Certains instruments sont légèrement inharmoniques

- ▶ Les sons qui engendrent une sensation de hauteur tonale bien définie ont une forme d'onde quasi-périodique
- ▶ Spectres d'harmoniques multiples du fondamental :
 - ▶ sons de parole voisés, produits par vibration quasi-périodique des cordes vocales
 - ▶ sons produits par des instruments à cordes ou à vent
- ▶ La propriété d'harmonicité n'est pas toujours vérifiée :
 - ▶ Certains instruments sont légèrement inharmoniques
 - ▶ Polyphonie : recouvrement des peignes d'harmoniques

- ▶ Les sons qui engendrent une sensation de hauteur tonale bien définie ont une forme d'onde quasi-périodique
- ▶ Spectres d'harmoniques multiples du fondamental :
 - ▶ sons de parole voisés, produits par vibration quasi-périodique des cordes vocales
 - ▶ sons produits par des instruments à cordes ou à vent
- ▶ La propriété d'harmonicité n'est pas toujours vérifiée :
 - ▶ Certains instruments sont légèrement inharmoniques
 - ▶ Polyphonie : recouvrement des peignes d'harmoniques
 - ▶ Présence de paires ou de triplets de fréquences proches :

- ▶ Les sons qui engendrent une sensation de hauteur tonale bien définie ont une forme d'onde quasi-périodique
- ▶ Spectres d'harmoniques multiples du fondamental :
 - ▶ sons de parole voisés, produits par vibration quasi-périodique des cordes vocales
 - ▶ sons produits par des instruments à cordes ou à vent
- ▶ La propriété d'harmonicité n'est pas toujours vérifiée :
 - ▶ Certains instruments sont légèrement inharmoniques
 - ▶ Polyphonie : recouvrement des peignes d'harmoniques
 - ▶ Présence de paires ou de triplets de fréquences proches :
 - ▶ dissymétrie dans la géométrie d'une cloche

- ▶ Les sons qui engendrent une sensation de hauteur tonale bien définie ont une forme d'onde quasi-périodique
- ▶ Spectres d'harmoniques multiples du fondamental :
 - ▶ sons de parole voisés, produits par vibration quasi-périodique des cordes vocales
 - ▶ sons produits par des instruments à cordes ou à vent
- ▶ La propriété d'harmonicité n'est pas toujours vérifiée :
 - ▶ Certains instruments sont légèrement inharmoniques
 - ▶ Polyphonie : recouvrement des peignes d'harmoniques
 - ▶ Présence de paires ou de triplets de fréquences proches :
 - ▶ dissymétrie dans la géométrie d'une cloche
 - ▶ couplage entre cordes et chevalet dans une guitare

- ▶ Les sons qui engendrent une sensation de hauteur tonale bien définie ont une forme d'onde quasi-périodique
- ▶ Spectres d'harmoniques multiples du fondamental :
 - ▶ sons de parole voisés, produits par vibration quasi-périodique des cordes vocales
 - ▶ sons produits par des instruments à cordes ou à vent
- ▶ La propriété d'harmonicité n'est pas toujours vérifiée :
 - ▶ Certains instruments sont légèrement inharmoniques
 - ▶ Polyphonie : recouvrement des peignes d'harmoniques
 - ▶ Présence de paires ou de triplets de fréquences proches :
 - ▶ dissymétrie dans la géométrie d'une cloche
 - ▶ couplage entre cordes et chevalet dans une guitare
 - ▶ paires ou triplets de cordes dans un piano, et couplage des modes de vibration vertical et horizontal

Partie I

Modèle paramétrique de signal

Exponential Sinusoidal Model (ESM)

- ▶ Modulation d'amplitude exponentielle pour modéliser l'amortissement naturel des systèmes vibratoires libres

Exponential Sinusoidal Model (ESM)

- ▶ Modulation d'amplitude exponentielle pour modéliser l'amortissement naturel des systèmes vibratoires libres
- ▶ Modèle réel : $s[t] = \sum_{k=0}^{K-1} a_k e^{\delta_k t} \cos(2\pi f_k t + \phi_k)$

Exponential Sinusoidal Model (ESM)

- ▶ Modulation d'amplitude exponentielle pour modéliser l'amortissement naturel des systèmes vibratoires libres
- ▶ Modèle réel : $s[t] = \sum_{k=0}^{K-1} a_k e^{\delta_k t} \cos(2\pi f_k t + \phi_k)$
- ▶ Modèle complexe : $s[t] = \sum_{k=0}^{K-1} a_k e^{\delta_k t} e^{i(2\pi f_k t + \phi_k)}$

Exponential Sinusoidal Model (ESM)

- ▶ Modulation d'amplitude exponentielle pour modéliser l'amortissement naturel des systèmes vibratoires libres
- ▶ Modèle réel : $s[t] = \sum_{k=0}^{K-1} a_k e^{\delta_k t} \cos(2\pi f_k t + \phi_k)$
- ▶ Modèle complexe : $s[t] = \sum_{k=0}^{K-1} a_k e^{\delta_k t} e^{i(2\pi f_k t + \phi_k)}$
- ▶ Écriture compacte : $s[t] = \sum_{k=0}^{K-1} \alpha_k z_k^t$ où

Exponential Sinusoidal Model (ESM)

- ▶ Modulation d'amplitude exponentielle pour modéliser l'amortissement naturel des systèmes vibratoires libres
- ▶ Modèle réel : $s[t] = \sum_{k=0}^{K-1} a_k e^{\delta_k t} \cos(2\pi f_k t + \phi_k)$
- ▶ Modèle complexe : $s[t] = \sum_{k=0}^{K-1} a_k e^{\delta_k t} e^{i(2\pi f_k t + \phi_k)}$
- ▶ Écriture compacte : $s[t] = \sum_{k=0}^{K-1} \alpha_k z_k^t$ où
 - ▶ $\alpha_k = a_k e^{i\phi_k}$ est une *amplitude complexe*,

Exponential Sinusoidal Model (ESM)

- ▶ Modulation d'amplitude exponentielle pour modéliser l'amortissement naturel des systèmes vibratoires libres
- ▶ Modèle réel : $s[t] = \sum_{k=0}^{K-1} a_k e^{\delta_k t} \cos(2\pi f_k t + \phi_k)$
- ▶ Modèle complexe : $s[t] = \sum_{k=0}^{K-1} a_k e^{\delta_k t} e^{i(2\pi f_k t + \phi_k)}$
- ▶ Écriture compacte : $s[t] = \sum_{k=0}^{K-1} \alpha_k z_k^t$ où
 - ▶ $\alpha_k = a_k e^{i\phi_k}$ est une *amplitude complexe*,
 - ▶ $z_k = e^{\delta_k + i2\pi f_k}$ est un *pôle complexe*.

Exponential Sinusoidal Model (ESM)

- ▶ Modulation d'amplitude exponentielle pour modéliser l'amortissement naturel des systèmes vibratoires libres
- ▶ Modèle réel : $s[t] = \sum_{k=0}^{K-1} a_k e^{\delta_k t} \cos(2\pi f_k t + \phi_k)$
- ▶ Modèle complexe : $s[t] = \sum_{k=0}^{K-1} a_k e^{\delta_k t} e^{i(2\pi f_k t + \phi_k)}$
- ▶ Écriture compacte : $s[t] = \sum_{k=0}^{K-1} \alpha_k z_k^t$ où
 - ▶ $\alpha_k = a_k e^{i\phi_k}$ est une *amplitude complexe*,
 - ▶ $z_k = e^{\delta_k + i2\pi f_k}$ est un *pôle complexe*.
- ▶ Hypothèses : pour tout $k \in \{0 \dots K-1\}$, $\alpha_k \neq 0$, $z_k \neq 0$, et tous les pôles z_k sont distincts deux à deux

Exponential Sinusoidal Model (ESM)

- ▶ Modulation d'amplitude exponentielle pour modéliser l'amortissement naturel des systèmes vibratoires libres
- ▶ Modèle réel : $s[t] = \sum_{k=0}^{K-1} a_k e^{\delta_k t} \cos(2\pi f_k t + \phi_k)$
- ▶ Modèle complexe : $s[t] = \sum_{k=0}^{K-1} a_k e^{\delta_k t} e^{i(2\pi f_k t + \phi_k)}$
- ▶ Écriture compacte : $s[t] = \sum_{k=0}^{K-1} \alpha_k z_k^t$ où
 - ▶ $\alpha_k = a_k e^{i\phi_k}$ est une *amplitude complexe*,
 - ▶ $z_k = e^{\delta_k + i2\pi f_k}$ est un *pôle complexe*.
- ▶ Hypothèses : pour tout $k \in \{0 \dots K-1\}$, $\alpha_k \neq 0$, $z_k \neq 0$, et tous les pôles z_k sont distincts deux à deux
- ▶ Le signal observé $x[t]$ est modélisé comme le signal $s[t]$ plus un bruit blanc gaussien complexe $b[t]$ de variance σ^2

- ▶ Détection des pics dans la transformée de Fourier

- ▶ Détection des pics dans la transformée de Fourier
- ▶ Avantages

- ▶ Détection des pics dans la transformée de Fourier
- ▶ Avantages
 - ▶ existence d'un algorithme de calcul rapide (FFT)

- ▶ Détection des pics dans la transformée de Fourier
- ▶ Avantages
 - ▶ existence d'un algorithme de calcul rapide (FFT)
 - ▶ méthode robuste d'estimation

- ▶ Détection des pics dans la transformée de Fourier
- ▶ Avantages
 - ▶ existence d'un algorithme de calcul rapide (FFT)
 - ▶ méthode robuste d'estimation
- ▶ Inconvénients

- ▶ Détection des pics dans la transformée de Fourier
- ▶ Avantages
 - ▶ existence d'un algorithme de calcul rapide (FFT)
 - ▶ méthode robuste d'estimation
- ▶ Inconvénients
 - ▶ résolution spectrale limitée par la longueur de la fenêtre

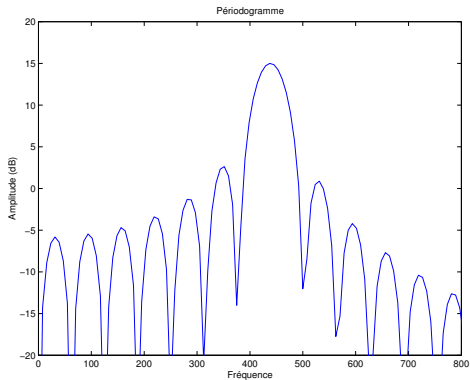
- ▶ Détection des pics dans la transformée de Fourier
- ▶ Avantages
 - ▶ existence d'un algorithme de calcul rapide (FFT)
 - ▶ méthode robuste d'estimation
- ▶ Inconvénients
 - ▶ résolution spectrale limitée par la longueur de la fenêtre
 - ▶ précision spectrale limitée par la taille de la transformée

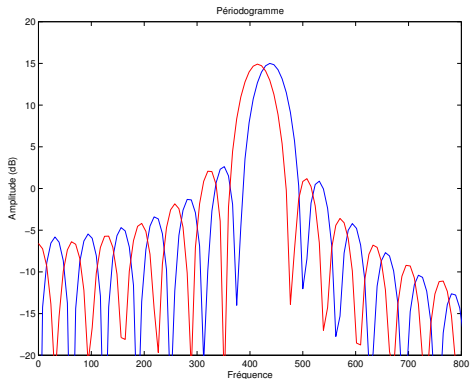
- ▶ Détection des pics dans la transformée de Fourier
- ▶ Avantages
 - ▶ existence d'un algorithme de calcul rapide (FFT)
 - ▶ méthode robuste d'estimation
- ▶ Inconvénients
 - ▶ résolution spectrale limitée par la longueur de la fenêtre
 - ▶ précision spectrale limitée par la taille de la transformée
 - ▶ compromis entre la largeur du lobe principal et la hauteur des lobes secondaires induites par la forme de la fenêtre

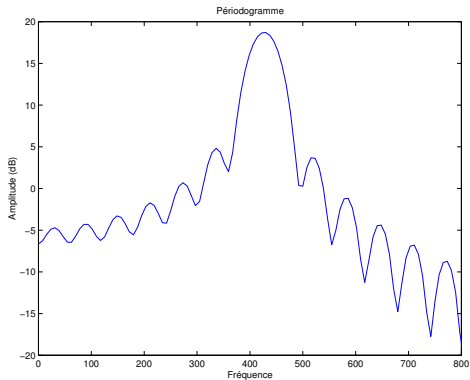
- ▶ Détection des pics dans la transformée de Fourier
- ▶ Avantages
 - ▶ existence d'un algorithme de calcul rapide (FFT)
 - ▶ méthode robuste d'estimation
- ▶ Inconvénients
 - ▶ résolution spectrale limitée par la longueur de la fenêtre
 - ▶ précision spectrale limitée par la taille de la transformée
 - ▶ compromis entre la largeur du lobe principal et la hauteur des lobes secondaires induites par la forme de la fenêtre
 - ▶ élargissement du pic en cas d'amortissement exponentiel

Signal de test :

- ▶ Fréquence d'échantillonnage : 8000 Hz
- ▶ Première sinusoïde : 440 Hz (la)
- ▶ Deuxième sinusoïde : 415,3 Hz (sol #)
- ▶ Pas d'amortissement, amplitudes égales à 1
- ▶ Longueur de la fenêtre rectangulaire : $N = 128$ (16 ms)
- ▶ Taille de la transformée : 1024 échantillons







- ▶ Principe général d'estimation paramétrique, asymptotiquement sans biais, consistant et efficace

Méthode du maximum de vraisemblance

- ▶ Principe général d'estimation paramétrique, asymptotiquement sans biais, consistant et efficace
- ▶ Il conduit à une estimation en trois étapes :

- ▶ Principe général d'estimation paramétrique, asymptotiquement sans biais, consistant et efficace
- ▶ Il conduit à une estimation en trois étapes :
 - ▶ Estimation des pôles complexes : optimisation numérique d'une fonction de K variables complexes

- ▶ Principe général d'estimation paramétrique, asymptotiquement sans biais, consistant et efficace
- ▶ Il conduit à une estimation en trois étapes :
 - ▶ Estimation des pôles complexes : optimisation numérique d'une fonction de K variables complexes
 - ▶ Estimation des amplitudes complexes : par la méthode des moindres carrés

- ▶ Principe général d'estimation paramétrique, asymptotiquement sans biais, consistant et efficace
- ▶ Il conduit à une estimation en trois étapes :
 - ▶ Estimation des pôles complexes : optimisation numérique d'une fonction de K variables complexes
 - ▶ Estimation des amplitudes complexes : par la méthode des moindres carrés
 - ▶ Estimation de la variance : puissance du résiduel

- ▶ Principe général d'estimation paramétrique, asymptotiquement sans biais, consistant et efficace
- ▶ Il conduit à une estimation en trois étapes :
 - ▶ Estimation des pôles complexes : optimisation numérique d'une fonction de K variables complexes
 - ▶ Estimation des amplitudes complexes : par la méthode des moindres carrés
 - ▶ Estimation de la variance : puissance du résiduel
- ▶ Difficultés de la première étape :

- ▶ Principe général d'estimation paramétrique, asymptotiquement sans biais, consistant et efficace
- ▶ Il conduit à une estimation en trois étapes :
 - ▶ Estimation des pôles complexes : optimisation numérique d'une fonction de K variables complexes
 - ▶ Estimation des amplitudes complexes : par la méthode des moindres carrés
 - ▶ Estimation de la variance : puissance du résiduel
- ▶ Difficultés de la première étape :
 - ▶ complexité algorithmique

- ▶ Principe général d'estimation paramétrique, asymptotiquement sans biais, consistant et efficace
- ▶ Il conduit à une estimation en trois étapes :
 - ▶ Estimation des pôles complexes : optimisation numérique d'une fonction de K variables complexes
 - ▶ Estimation des amplitudes complexes : par la méthode des moindres carrés
 - ▶ Estimation de la variance : puissance du résiduel
- ▶ Difficultés de la première étape :
 - ▶ complexité algorithmique
 - ▶ présence de nombreux maxima locaux

- ▶ Principe général d'estimation paramétrique, asymptotiquement sans biais, consistant et efficace
- ▶ Il conduit à une estimation en trois étapes :
 - ▶ Estimation des pôles complexes : optimisation numérique d'une fonction de K variables complexes
 - ▶ Estimation des amplitudes complexes : par la méthode des moindres carrés
 - ▶ Estimation de la variance : puissance du résiduel
- ▶ Difficultés de la première étape :
 - ▶ complexité algorithmique
 - ▶ présence de nombreux maxima locaux
- ▶ Besoin de méthodes spécifiques pour les pôles complexes

- ▶ Principe général d'estimation paramétrique, asymptotiquement sans biais, consistant et efficace
- ▶ Il conduit à une estimation en trois étapes :
 - ▶ Estimation des pôles complexes : optimisation numérique d'une fonction de K variables complexes
 - ▶ Estimation des amplitudes complexes : par la méthode des moindres carrés
 - ▶ Estimation de la variance : puissance du résiduel
- ▶ Difficultés de la première étape :
 - ▶ complexité algorithmique
 - ▶ présence de nombreux maxima locaux
- ▶ Besoin de méthodes spécifiques pour les pôles complexes
- ▶ Les méthodes d'estimation paramétrique à haute résolution s'affranchissent des limites de l'analyse de Fourier

Partie II

Méthodes à haute résolution

- ▶ Principe : tout signal satisfaisant la récurrence $s[t] - z_0 s[t-1] = 0$ est de la forme $s[t] = \alpha_0 z_0^t$

- ▶ Principe : tout signal satisfaisant la récurrence $s[t] - z_0 s[t-1] = 0$ est de la forme $s[t] = \alpha_0 z_0^t$
- ▶ Cas général : soit $P[z] \triangleq \prod_{k=0}^{K-1} (z - z_k) = \sum_{\tau=0}^K p_\tau z^{K-\tau}$.

- ▶ Principe : tout signal satisfaisant la récurrence $s[t] - z_0 s[t-1] = 0$ est de la forme $s[t] = \alpha_0 z_0^t$
- ▶ Cas général : soit $P[z] \triangleq \prod_{k=0}^{K-1} (z - z_k) = \sum_{\tau=0}^K p_\tau z^{K-\tau}$.
- ▶ *Un signal discret $\{s[t]\}_{t \in \mathbb{Z}}$ satisfait l'équation de récurrence $\sum_{\tau=0}^K p_\tau s[t-\tau] = 0$ ssi il est de la forme $s[t] = \sum_{k=0}^{K-1} \alpha_k z_k^t$*

- ▶ Principe : tout signal satisfaisant la récurrence $s[t] - z_0 s[t-1] = 0$ est de la forme $s[t] = \alpha_0 z_0^t$
- ▶ Cas général : soit $P[z] \triangleq \prod_{k=0}^{K-1} (z - z_k) = \sum_{\tau=0}^K p_\tau z^{K-\tau}$.
- ▶ *Un signal discret $\{s[t]\}_{t \in \mathbb{Z}}$ satisfait l'équation de récurrence $\sum_{\tau=0}^K p_\tau s[t-\tau] = 0$ ssi il est de la forme $s[t] = \sum_{k=0}^{K-1} \alpha_k z_k^t$*
- ▶ Méthodes de Prony et de Pisarenko :

- ▶ Principe : tout signal satisfaisant la récurrence $s[t] - z_0 s[t-1] = 0$ est de la forme $s[t] = \alpha_0 z_0^t$
- ▶ Cas général : soit $P[z] \triangleq \prod_{k=0}^{K-1} (z - z_k) = \sum_{\tau=0}^K p_\tau z^{K-\tau}$.
- ▶ *Un signal discret $\{s[t]\}_{t \in \mathbb{Z}}$ satisfait l'équation de récurrence $\sum_{\tau=0}^K p_\tau s[t-\tau] = 0$ ssi il est de la forme $s[t] = \sum_{k=0}^{K-1} \alpha_k z_k^t$*
- ▶ Méthodes de Prony et de Pisarenko :
 - ▶ Estimer le polynôme $P[z]$ par prédiction linéaire

- ▶ Principe : tout signal satisfaisant la récurrence $s[t] - z_0 s[t-1] = 0$ est de la forme $s[t] = \alpha_0 z_0^t$
- ▶ Cas général : soit $P[z] \triangleq \prod_{k=0}^{K-1} (z - z_k) = \sum_{\tau=0}^K p_\tau z^{K-\tau}$.
- ▶ *Un signal discret $\{s[t]\}_{t \in \mathbb{Z}}$ satisfait l'équation de récurrence $\sum_{\tau=0}^K p_\tau s[t-\tau] = 0$ ssi il est de la forme $s[t] = \sum_{k=0}^{K-1} \alpha_k z_k^t$*
- ▶ Méthodes de Prony et de Pisarenko :
 - ▶ Estimer le polynôme $P[z]$ par prédiction linéaire
 - ▶ Extraire les racines de ce polynôme

- ▶ Principe : tout signal satisfaisant la récurrence $s[t] - z_0 s[t-1] = 0$ est de la forme $s[t] = \alpha_0 z_0^t$
- ▶ Cas général : soit $P[z] \triangleq \prod_{k=0}^{K-1} (z - z_k) = \sum_{\tau=0}^K p_\tau z^{K-\tau}$.
- ▶ *Un signal discret $\{s[t]\}_{t \in \mathbb{Z}}$ satisfait l'équation de récurrence $\sum_{\tau=0}^K p_\tau s[t-\tau] = 0$ ssi il est de la forme $s[t] = \sum_{k=0}^{K-1} \alpha_k z_k^t$*
- ▶ Méthodes de Prony et de Pisarenko :
 - ▶ Estimer le polynôme $P[z]$ par prédiction linéaire
 - ▶ Extraire les racines de ce polynôme
- ▶ Inconvénient : performances médiocres en présence de bruit

- Horizon d'observation : $t \in \{0 \dots N-1\}$, où $N > 2K$

- ▶ Horizon d'observation : $t \in \{0 \dots N-1\}$, où $N > 2K$
- ▶ Matrice de données ($n > K$, $l > K$ et $N = n + l - 1$) :

$$\mathbf{S} = \begin{bmatrix} s[0] & s[1] & \dots & s[l-1] \\ s[1] & s[2] & \dots & s[l] \\ \vdots & \vdots & \vdots & \vdots \\ s[n-1] & s[n] & \dots & s[N-1] \end{bmatrix}$$

- ▶ Horizon d'observation : $t \in \{0 \dots N-1\}$, où $N > 2K$
- ▶ Matrice de données ($n > K$, $l > K$ et $N = n + l - 1$) :

$$\mathbf{S} = \begin{bmatrix} s[0] & s[1] & \dots & s[l-1] \\ s[1] & s[2] & \dots & s[l] \\ \vdots & \vdots & \vdots & \vdots \\ s[n-1] & s[n] & \dots & s[N-1] \end{bmatrix}$$

- ▶ Factorisation de la matrice \mathbf{S} : $\mathbf{S} = \mathbf{V}^n \mathbf{A} \mathbf{V}^l{}^T$, où

Représentation matricielle du signal

- ▶ Horizon d'observation : $t \in \{0 \dots N-1\}$, où $N > 2K$
- ▶ Matrice de données ($n > K$, $l > K$ et $N = n + l - 1$) :

$$\mathbf{S} = \begin{bmatrix} s[0] & s[1] & \dots & s[l-1] \\ s[1] & s[2] & \dots & s[l] \\ \vdots & \vdots & \vdots & \vdots \\ s[n-1] & s[n] & \dots & s[N-1] \end{bmatrix}$$

- ▶ Factorisation de la matrice \mathbf{S} : $\mathbf{S} = \mathbf{V}^n \mathbf{A} \mathbf{V}^l{}^T$, où
 - ▶ \mathbf{V}^n est la matrice de **Vandermonde** de dimensions $n \times K$,

$$\mathbf{V}^n = \begin{bmatrix} 1 & 1 & \dots & 1 \\ z_0 & z_1 & \dots & z_{K-1} \\ z_0^2 & z_1^2 & \dots & z_{K-1}^2 \\ \vdots & \vdots & \vdots & \vdots \\ z_0^{n-1} & z_1^{n-1} & \dots & z_{K-1}^{n-1} \end{bmatrix}$$

- ▶ Horizon d'observation : $t \in \{0 \dots N-1\}$, où $N > 2K$
- ▶ Matrice de données ($n > K$, $l > K$ et $N = n + l - 1$) :

$$\mathbf{S} = \begin{bmatrix} s[0] & s[1] & \dots & s[l-1] \\ s[1] & s[2] & \dots & s[l] \\ \vdots & \vdots & \vdots & \vdots \\ s[n-1] & s[n] & \dots & s[N-1] \end{bmatrix}$$

- ▶ Factorisation de la matrice \mathbf{S} : $\mathbf{S} = \mathbf{V}^n \mathbf{A} \mathbf{V}^l{}^T$, où
 - ▶ \mathbf{V}^n est la matrice de **Vandermonde** de dimensions $n \times K$,
 - ▶ \mathbf{V}^l est la matrice de Vandermonde de dimensions $l \times K$,

- ▶ Horizon d'observation : $t \in \{0 \dots N-1\}$, où $N > 2K$
- ▶ Matrice de données ($n > K$, $l > K$ et $N = n + l - 1$) :

$$\mathbf{S} = \begin{bmatrix} s[0] & s[1] & \dots & s[l-1] \\ s[1] & s[2] & \dots & s[l] \\ \vdots & \vdots & \vdots & \vdots \\ s[n-1] & s[n] & \dots & s[N-1] \end{bmatrix}$$

- ▶ Factorisation de la matrice \mathbf{S} : $\mathbf{S} = \mathbf{V}^n \mathbf{A} \mathbf{V}^l{}^T$, où
 - ▶ \mathbf{V}^n est la matrice de **Vandermonde** de dimensions $n \times K$,
 - ▶ \mathbf{V}^l est la matrice de Vandermonde de dimensions $l \times K$,
 - ▶ $\mathbf{A} = \text{diag}(\alpha_0, \alpha_1, \dots, \alpha_{K-1})$ est une matrice diagonale de dimension $K \times K$.

- ▶ On définit la **matrice de corrélation** $\mathbf{R}_{ss} = \frac{1}{I} \mathbf{S} \mathbf{S}^H$

Matrice de corrélation

- ▶ On définit la **matrice de corrélation** $\mathbf{R}_{ss} = \frac{1}{I} \mathbf{S} \mathbf{S}^H$
- ▶ Alors $\mathbf{R}_{ss} = \mathbf{V}^n \mathbf{P} \mathbf{V}^{nH}$, où $\mathbf{P} = \frac{1}{I} \mathbf{A} \mathbf{V}^I{}^T \mathbf{V}^I{}^* \mathbf{A}^H$

- ▶ On définit la **matrice de corrélation** $\mathbf{R}_{ss} = \frac{1}{I} \mathbf{S} \mathbf{S}^H$
- ▶ Alors $\mathbf{R}_{ss} = \mathbf{V}^n \mathbf{P} \mathbf{V}^{nH}$, où $\mathbf{P} = \frac{1}{I} \mathbf{A} \mathbf{V}^I{}^T \mathbf{V}^I{}^* \mathbf{A}^H$
- ▶ La matrice \mathbf{R}_{ss} est de rang K

Matrice de corrélation

- ▶ On définit la **matrice de corrélation** $\mathbf{R}_{ss} = \frac{1}{I} \mathbf{S} \mathbf{S}^H$
- ▶ Alors $\mathbf{R}_{ss} = \mathbf{V}^n \mathbf{P} \mathbf{V}^{nH}$, où $\mathbf{P} = \frac{1}{I} \mathbf{A} \mathbf{V}^I{}^T \mathbf{V}^I{}^* \mathbf{A}^H$
- ▶ La matrice \mathbf{R}_{ss} est de rang K
- ▶ \mathbf{R}_{ss} est diagonalisable en base orthonormée $\{\mathbf{w}_0 \dots \mathbf{w}_{n-1}\}$

- ▶ On définit la **matrice de corrélation** $\mathbf{R}_{ss} = \frac{1}{I} \mathbf{S} \mathbf{S}^H$
- ▶ Alors $\mathbf{R}_{ss} = \mathbf{V}^n \mathbf{P} \mathbf{V}^{nH}$, où $\mathbf{P} = \frac{1}{I} \mathbf{A} \mathbf{V}^I T \mathbf{V}^{I*} \mathbf{A}^H$
- ▶ La matrice \mathbf{R}_{ss} est de rang K
- ▶ \mathbf{R}_{ss} est diagonalisable en base orthonormée $\{\mathbf{w}_0 \dots \mathbf{w}_{n-1}\}$
- ▶ Ses valeurs propres $\lambda_0 \geq \lambda_1 \geq \dots \geq \lambda_{n-1} \geq 0$ satisfont

- ▶ On définit la **matrice de corrélation** $\mathbf{R}_{ss} = \frac{1}{I} \mathbf{S} \mathbf{S}^H$
- ▶ Alors $\mathbf{R}_{ss} = \mathbf{V}^n \mathbf{P} \mathbf{V}^{nH}$, où $\mathbf{P} = \frac{1}{I} \mathbf{A} \mathbf{V}^I T \mathbf{V}^{I*} \mathbf{A}^H$
- ▶ La matrice \mathbf{R}_{ss} est de rang K
- ▶ \mathbf{R}_{ss} est diagonalisable en base orthonormée $\{\mathbf{w}_0 \dots \mathbf{w}_{n-1}\}$
- ▶ Ses valeurs propres $\lambda_0 \geq \lambda_1 \geq \dots \geq \lambda_{n-1} \geq 0$ satisfont
 - ▶ $\forall i \in \{0 \dots K-1\}, \lambda_i > 0;$

- ▶ On définit la **matrice de corrélation** $\mathbf{R}_{ss} = \frac{1}{I} \mathbf{S} \mathbf{S}^H$
- ▶ Alors $\mathbf{R}_{ss} = \mathbf{V}^n \mathbf{P} \mathbf{V}^{nH}$, où $\mathbf{P} = \frac{1}{I} \mathbf{A} \mathbf{V}^I T \mathbf{V}^{I*} \mathbf{A}^H$
- ▶ La matrice \mathbf{R}_{ss} est de rang K
- ▶ \mathbf{R}_{ss} est diagonalisable en base orthonormée $\{\mathbf{w}_0 \dots \mathbf{w}_{n-1}\}$
- ▶ Ses valeurs propres $\lambda_0 \geq \lambda_1 \geq \dots \geq \lambda_{n-1} \geq 0$ satisfont
 - ▶ $\forall i \in \{0 \dots K-1\}, \lambda_i > 0;$
 - ▶ $\forall i \in \{K \dots n-1\}, \lambda_i = 0.$

- ▶ On définit la **matrice de corrélation** $\mathbf{R}_{ss} = \frac{1}{I} \mathbf{S} \mathbf{S}^H$
- ▶ Alors $\mathbf{R}_{ss} = \mathbf{V}^n \mathbf{P} \mathbf{V}^{nH}$, où $\mathbf{P} = \frac{1}{I} \mathbf{A} \mathbf{V}^I{}^T \mathbf{V}^I{}^* \mathbf{A}^H$
- ▶ La matrice \mathbf{R}_{ss} est de rang K
- ▶ \mathbf{R}_{ss} est diagonalisable en base orthonormée $\{\mathbf{w}_0 \dots \mathbf{w}_{n-1}\}$
- ▶ Ses valeurs propres $\lambda_0 \geq \lambda_1 \geq \dots \geq \lambda_{n-1} \geq 0$ satisfont
 - ▶ $\forall i \in \{0 \dots K-1\}, \lambda_i > 0;$
 - ▶ $\forall i \in \{K \dots n-1\}, \lambda_i = 0.$
- ▶ On pose $\hat{\mathbf{R}}_{bb} = \frac{1}{I} \mathbf{B} \mathbf{B}^H$ et $\mathbf{R}_{bb} = \mathbb{E} [\hat{\mathbf{R}}_{bb}] = \sigma^2 \mathbf{I}_n.$

- ▶ On définit la **matrice de corrélation** $\mathbf{R}_{ss} = \frac{1}{I} \mathbf{S} \mathbf{S}^H$
- ▶ Alors $\mathbf{R}_{ss} = \mathbf{V}^n \mathbf{P} \mathbf{V}^{nH}$, où $\mathbf{P} = \frac{1}{I} \mathbf{A} \mathbf{V}^I{}^T \mathbf{V}^I{}^* \mathbf{A}^H$
- ▶ La matrice \mathbf{R}_{ss} est de rang K
- ▶ \mathbf{R}_{ss} est diagonalisable en base orthonormée $\{\mathbf{w}_0 \dots \mathbf{w}_{n-1}\}$
- ▶ Ses valeurs propres $\lambda_0 \geq \lambda_1 \geq \dots \geq \lambda_{n-1} \geq 0$ satisfont
 - ▶ $\forall i \in \{0 \dots K-1\}, \lambda_i > 0;$
 - ▶ $\forall i \in \{K \dots n-1\}, \lambda_i = 0.$
- ▶ On pose $\hat{\mathbf{R}}_{bb} = \frac{1}{I} \mathbf{B} \mathbf{B}^H$ et $\mathbf{R}_{bb} = \mathbb{E} [\hat{\mathbf{R}}_{bb}] = \sigma^2 \mathbf{I}_n.$
- ▶ De même, on pose $\hat{\mathbf{R}}_{xx} = \frac{1}{I} \mathbf{X} \mathbf{X}^H$ et $\mathbf{R}_{xx} = \mathbb{E} [\hat{\mathbf{R}}_{xx}].$

- ▶ On définit la **matrice de corrélation** $\mathbf{R}_{ss} = \frac{1}{I} \mathbf{S} \mathbf{S}^H$
- ▶ Alors $\mathbf{R}_{ss} = \mathbf{V}^n \mathbf{P} \mathbf{V}^{nH}$, où $\mathbf{P} = \frac{1}{I} \mathbf{A} \mathbf{V}^I{}^T \mathbf{V}^{I*} \mathbf{A}^H$
- ▶ La matrice \mathbf{R}_{ss} est de rang K
- ▶ \mathbf{R}_{ss} est diagonalisable en base orthonormée $\{\mathbf{w}_0 \dots \mathbf{w}_{n-1}\}$
- ▶ Ses valeurs propres $\lambda_0 \geq \lambda_1 \geq \dots \geq \lambda_{n-1} \geq 0$ satisfont
 - ▶ $\forall i \in \{0 \dots K-1\}, \lambda_i > 0;$
 - ▶ $\forall i \in \{K \dots n-1\}, \lambda_i = 0.$
- ▶ On pose $\hat{\mathbf{R}}_{bb} = \frac{1}{I} \mathbf{B} \mathbf{B}^H$ et $\mathbf{R}_{bb} = \mathbb{E} [\hat{\mathbf{R}}_{bb}] = \sigma^2 \mathbf{I}_n.$
- ▶ De même, on pose $\hat{\mathbf{R}}_{xx} = \frac{1}{I} \mathbf{X} \mathbf{X}^H$ et $\mathbf{R}_{xx} = \mathbb{E} [\hat{\mathbf{R}}_{xx}].$
- ▶ Alors $\mathbf{R}_{xx} = \mathbf{R}_{ss} + \sigma^2 \mathbf{I}_n$

- Pour tout $i \in \{0 \dots n-1\}$, \mathbf{w}_i est aussi vecteur propre de \mathbf{R}_{xx} associé à la valeur propre $\lambda'_i = \lambda_i + \sigma^2$. Ainsi,

- Pour tout $i \in \{0 \dots n-1\}$, \mathbf{w}_i est aussi vecteur propre de \mathbf{R}_{xx} associé à la valeur propre $\lambda'_i = \lambda_i + \sigma^2$. Ainsi,
 - $\forall i \in \{0 \dots K-1\}, \lambda'_i > \sigma^2$;

- ▶ Pour tout $i \in \{0 \dots n-1\}$, \mathbf{w}_i est aussi vecteur propre de \mathbf{R}_{xx} associé à la valeur propre $\lambda'_i = \lambda_i + \sigma^2$. Ainsi,
 - ▶ $\forall i \in \{0 \dots K-1\}, \lambda'_i > \sigma^2$;
 - ▶ $\forall i \in \{K \dots n-1\}, \lambda'_i = \sigma^2$.

- ▶ Pour tout $i \in \{0 \dots n-1\}$, \mathbf{w}_i est aussi vecteur propre de \mathbf{R}_{xx} associé à la valeur propre $\lambda'_i = \lambda_i + \sigma^2$. Ainsi,
 - ▶ $\forall i \in \{0 \dots K-1\}, \lambda'_i > \sigma^2$;
 - ▶ $\forall i \in \{K \dots n-1\}, \lambda'_i = \sigma^2$.
- ▶ On note $\mathbf{W} = [\mathbf{w}_0 \dots \mathbf{w}_{K-1}]$, et $\mathbf{W}_\perp = [\mathbf{w}_K \dots \mathbf{w}_{n-1}]$

- ▶ Pour tout $i \in \{0 \dots n-1\}$, \mathbf{w}_i est aussi vecteur propre de \mathbf{R}_{xx} associé à la valeur propre $\lambda'_i = \lambda_i + \sigma^2$. Ainsi,
 - ▶ $\forall i \in \{0 \dots K-1\}, \lambda'_i > \sigma^2$;
 - ▶ $\forall i \in \{K \dots n-1\}, \lambda'_i = \sigma^2$.
- ▶ On note $\mathbf{W} = [\mathbf{w}_0 \dots \mathbf{w}_{K-1}]$, et $\mathbf{W}_\perp = [\mathbf{w}_K \dots \mathbf{w}_{n-1}]$
- ▶ Alors $\text{Im}(\mathbf{W}) = \text{Im}(\mathbf{V}^n)$ est appelé **espace signal**

- ▶ Pour tout $i \in \{0 \dots n-1\}$, \mathbf{w}_i est aussi vecteur propre de \mathbf{R}_{xx} associé à la valeur propre $\lambda'_i = \lambda_i + \sigma^2$. Ainsi,
 - ▶ $\forall i \in \{0 \dots K-1\}, \lambda'_i > \sigma^2$;
 - ▶ $\forall i \in \{K \dots n-1\}, \lambda'_i = \sigma^2$.
- ▶ On note $\mathbf{W} = [\mathbf{w}_0 \dots \mathbf{w}_{K-1}]$, et $\mathbf{W}_\perp = [\mathbf{w}_K \dots \mathbf{w}_{n-1}]$
- ▶ Alors $\text{Im}(\mathbf{W}) = \text{Im}(\mathbf{V}^n)$ est appelé **espace signal**
- ▶ De même, $\text{Im}(\mathbf{W}_\perp)$ est appelé **espace bruit**

- ▶ Pour tout $i \in \{0 \dots n-1\}$, \mathbf{w}_i est aussi vecteur propre de \mathbf{R}_{xx} associé à la valeur propre $\lambda'_i = \lambda_i + \sigma^2$. Ainsi,
 - ▶ $\forall i \in \{0 \dots K-1\}, \lambda'_i > \sigma^2$;
 - ▶ $\forall i \in \{K \dots n-1\}, \lambda'_i = \sigma^2$.
- ▶ On note $\mathbf{W} = [\mathbf{w}_0 \dots \mathbf{w}_{K-1}]$, et $\mathbf{W}_\perp = [\mathbf{w}_K \dots \mathbf{w}_{n-1}]$
- ▶ Alors $\text{Im}(\mathbf{W}) = \text{Im}(\mathbf{V}^n)$ est appelé **espace signal**
- ▶ De même, $\text{Im}(\mathbf{W}_\perp)$ est appelé **espace bruit**
- ▶ Les pôles $\{z_k\}_{k \in \{0 \dots K-1\}}$ sont les solutions de l'équation $\|\mathbf{W}_\perp^H \mathbf{v}(z)\|^2 = 0$, où $\mathbf{v}(z) = [1, z, \dots, z^{n-1}]$

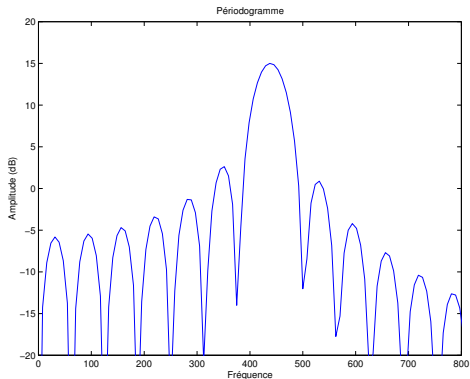
- ▶ Pour tout $i \in \{0 \dots n-1\}$, \mathbf{w}_i est aussi vecteur propre de \mathbf{R}_{xx} associé à la valeur propre $\lambda'_i = \lambda_i + \sigma^2$. Ainsi,
 - ▶ $\forall i \in \{0 \dots K-1\}, \lambda'_i > \sigma^2$;
 - ▶ $\forall i \in \{K \dots n-1\}, \lambda'_i = \sigma^2$.
- ▶ On note $\mathbf{W} = [\mathbf{w}_0 \dots \mathbf{w}_{K-1}]$, et $\mathbf{W}_\perp = [\mathbf{w}_K \dots \mathbf{w}_{n-1}]$
- ▶ Alors $\text{Im}(\mathbf{W}) = \text{Im}(\mathbf{V}^n)$ est appelé **espace signal**
- ▶ De même, $\text{Im}(\mathbf{W}_\perp)$ est appelé **espace bruit**
- ▶ Les pôles $\{z_k\}_{k \in \{0 \dots K-1\}}$ sont les solutions de l'équation $\|\mathbf{W}_\perp^H \mathbf{v}(z)\|^2 = 0$, où $\mathbf{v}(z) = [1, z, \dots, z^{n-1}]$
- ▶ La méthode **MUSIC** consiste à résoudre cette équation

- ▶ Pour tout $i \in \{0 \dots n-1\}$, \mathbf{w}_i est aussi vecteur propre de \mathbf{R}_{xx} associé à la valeur propre $\lambda'_i = \lambda_i + \sigma^2$. Ainsi,
 - ▶ $\forall i \in \{0 \dots K-1\}, \lambda'_i > \sigma^2$;
 - ▶ $\forall i \in \{K \dots n-1\}, \lambda'_i = \sigma^2$.
- ▶ On note $\mathbf{W} = [\mathbf{w}_0 \dots \mathbf{w}_{K-1}]$, et $\mathbf{W}_\perp = [\mathbf{w}_K \dots \mathbf{w}_{n-1}]$
- ▶ Alors $\text{Im}(\mathbf{W}) = \text{Im}(\mathbf{V}^n)$ est appelé **espace signal**
- ▶ De même, $\text{Im}(\mathbf{W}_\perp)$ est appelé **espace bruit**
- ▶ Les pôles $\{z_k\}_{k \in \{0 \dots K-1\}}$ sont les solutions de l'équation $\|\mathbf{W}_\perp^H \mathbf{v}(z)\|^2 = 0$, où $\mathbf{v}(z) = [1, z, \dots, z^{n-1}]$
- ▶ La méthode **MUSIC** consiste à résoudre cette équation
- ▶ La méthode **Spectral-MUSIC** consiste à rechercher les K pics les plus élevés de la fonction $z \mapsto \frac{1}{\|\mathbf{W}_\perp^H \mathbf{v}(z)\|^2}$.

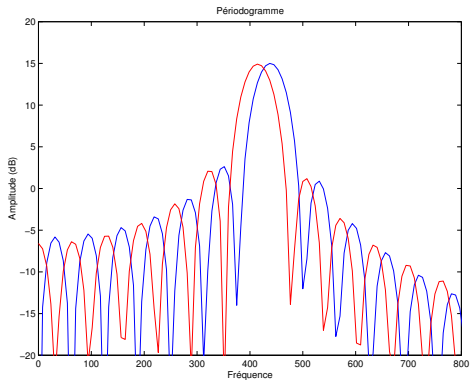
Signal de test :

- ▶ Fréquence d'échantillonnage : 8000 Hz
- ▶ Première sinusoïde : 440 Hz (la)
- ▶ Deuxième sinusoïde : 415,3 Hz (sol #)
- ▶ Pas d'amortissement, amplitudes égales à 1
- ▶ Longueur de la fenêtre : $N = 128$ échantillons
- ▶ Valeurs des dimensions d'analyse : $n = 64$, $l = 65$, $K = 4$
- ▶ Taille du pseudo-spectre : 1024 échantillons

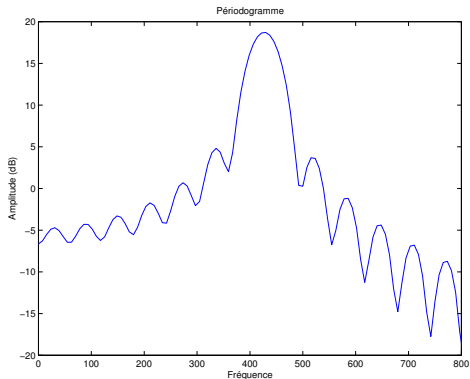
Méthode Spectral MUSIC



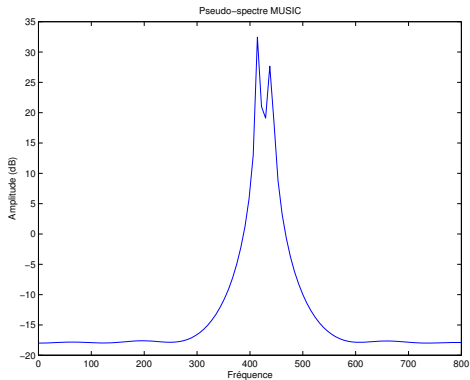
Méthode Spectral MUSIC



Méthode Spectral MUSIC



Méthode Spectral MUSIC



Algorithme ESPRIT

- Propriété d'invariance rotationnelle de \mathbf{V}^n :

$$\underbrace{\begin{bmatrix} 1 & \dots & 1 \\ z_0 & \dots & z_{K-1} \\ \vdots & \dots & \vdots \\ z_0^{n-2} & \dots & z_{K-1}^{n-2} \\ z_0^{n-1} & \dots & z_{K-1}^{n-1} \end{bmatrix}}_{\substack{\mathbf{V}^n \\ n \times K}}$$

Algorithme ESPRIT

- Propriété d'invariance rotationnelle de \mathbf{V}^n :

$$\underbrace{\begin{bmatrix} 1 & \dots & 1 \\ z_0 & \dots & z_{K-1} \\ \vdots & \dots & \vdots \\ z_0^{n-2} & \dots & z_{K-1}^{n-2} \\ z_0^{n-1} & \dots & z_{K-1}^{n-1} \end{bmatrix}}_{\substack{\mathbf{V}^n \\ \uparrow \\ (n-1) \times K}}$$

Algorithme ESPRIT

- Propriété d'invariance rotationnelle de \mathbf{V}^n :

$$\underbrace{\begin{bmatrix} 1 & \dots & 1 \\ z_0 & \dots & z_{K-1} \\ \vdots & \dots & \vdots \\ z_0^{n-2} & \dots & z_{K-1}^{n-2} \\ z_0^{n-1} & \dots & z_{K-1}^{n-1} \end{bmatrix}}_{\substack{\mathbf{V}^n \uparrow \\ (n-1) \times K}} \quad \underbrace{\begin{bmatrix} 1 & \dots & 1 \\ z_0 & \dots & z_{K-1} \\ \vdots & \dots & \vdots \\ z_0^{n-2} & \dots & z_{K-1}^{n-2} \\ z_0^{n-1} & \dots & z_{K-1}^{n-1} \end{bmatrix}}_{\substack{\mathbf{V}^n \\ n \times K}}$$

Algorithme ESPRIT

- Propriété d'invariance rotationnelle de \mathbf{V}^n :

$$\underbrace{\begin{bmatrix} 1 & \dots & 1 \\ z_0 & \dots & z_{K-1} \\ \vdots & \dots & \vdots \\ z_0^{n-2} & \dots & z_{K-1}^{n-2} \\ z_0^{n-1} & \dots & z_{K-1}^{n-1} \end{bmatrix}}_{\substack{\mathbf{V}^n \uparrow \\ (n-1) \times K}} \quad \underbrace{\begin{bmatrix} 1 & \dots & 1 \\ z_0 & \dots & z_{K-1} \\ \vdots & \dots & \vdots \\ z_0^{n-2} & \dots & z_{K-1}^{n-2} \\ z_0^{n-1} & \dots & z_{K-1}^{n-1} \end{bmatrix}}_{\substack{\mathbf{V}^n \downarrow \\ (n-1) \times K}}$$

Algorithme ESPRIT

- Propriété d'invariance rotationnelle de \mathbf{V}^n :

$$\underbrace{\begin{bmatrix} 1 & \dots & 1 \\ z_0 & \dots & z_{K-1} \\ \vdots & \dots & \vdots \\ z_0^{n-2} & \dots & z_{K-1}^{n-2} \\ z_0^{n-1} & \dots & z_{K-1}^{n-1} \end{bmatrix}}_{\substack{\mathbf{V}^n \uparrow \\ (n-1) \times K}} = \underbrace{\begin{bmatrix} 1 & \dots & 1 \\ z_0 & \dots & z_{K-1} \\ \vdots & \dots & \vdots \\ z_0^{n-2} & \dots & z_{K-1}^{n-2} \\ z_0^{n-1} & \dots & z_{K-1}^{n-1} \end{bmatrix}}_{\substack{\mathbf{V}^n \downarrow \\ (n-1) \times K}} \underbrace{\begin{bmatrix} z_0 & (0) \\ \ddots & \ddots \\ (0) & z_{K-1} \end{bmatrix}}_{\substack{\mathbf{D} \\ K \times K}}$$

- Propriété d'invariance rotationnelle de \mathbf{V}^n : $\mathbf{V}^n_{\uparrow} = \mathbf{V}^n_{\downarrow} \mathbf{D}$

- ▶ Propriété d'invariance rotationnelle de \mathbf{V}^n : $\mathbf{V}^n_{\uparrow} = \mathbf{V}^n_{\downarrow} \mathbf{D}$
- ▶ Formule de changement de base : $\mathbf{V}^n = \mathbf{W} \mathbf{G}$

- ▶ Propriété d'invariance rotationnelle de \mathbf{V}^n : $\mathbf{V}^n_{\uparrow} = \mathbf{V}^n_{\downarrow} \mathbf{D}$
- ▶ Formule de changement de base : $\mathbf{V}^n = \mathbf{W} \mathbf{G}$
- ▶ Invariance rotationnelle de $\mathbf{W}(t)$: $\mathbf{W}(t)_{\uparrow} = \mathbf{W}(t)_{\downarrow} \Phi(t)$
où $\Phi(t) = \mathbf{G} \mathbf{D} \mathbf{G}^{-1}$ est appelée **matrice spectrale**

- ▶ Propriété d'invariance rotationnelle de \mathbf{V}^n : $\mathbf{V}^n_{\uparrow} = \mathbf{V}^n_{\downarrow} \mathbf{D}$
- ▶ Formule de changement de base : $\mathbf{V}^n = \mathbf{W} \mathbf{G}$
- ▶ Invariance rotationnelle de $\mathbf{W}(t)$: $\mathbf{W}(t)_{\uparrow} = \mathbf{W}(t)_{\downarrow} \Phi(t)$
où $\Phi(t) = \mathbf{G} \mathbf{D} \mathbf{G}^{-1}$ est appelée **matrice spectrale**
- ▶ Les valeurs propres de $\Phi(t)$ sont les pôles $\{z_k\}_{k \in \{0 \dots K-1\}}$

- ▶ Propriété d'invariance rotationnelle de \mathbf{V}^n : $\mathbf{V}^n_{\uparrow} = \mathbf{V}^n_{\downarrow} \mathbf{D}$
- ▶ Formule de changement de base : $\mathbf{V}^n = \mathbf{W} \mathbf{G}$
- ▶ Invariance rotationnelle de $\mathbf{W}(t)$: $\mathbf{W}(t)_{\uparrow} = \mathbf{W}(t)_{\downarrow} \Phi(t)$
où $\Phi(t) = \mathbf{G} \mathbf{D} \mathbf{G}^{-1}$ est appelée **matrice spectrale**
- ▶ Les valeurs propres de $\Phi(t)$ sont les pôles $\{z_k\}_{k \in \{0 \dots K-1\}}$
- ▶ La matrice Φ vérifie $\Phi = (\mathbf{W}_{\downarrow}^H \mathbf{W}_{\downarrow})^{-1} \mathbf{W}_{\downarrow}^H \mathbf{W}_{\uparrow}$

- ▶ Propriété d'invariance rotationnelle de \mathbf{V}^n : $\mathbf{V}^n_{\uparrow} = \mathbf{V}^n_{\downarrow} \mathbf{D}$
- ▶ Formule de changement de base : $\mathbf{V}^n = \mathbf{W} \mathbf{G}$
- ▶ Invariance rotationnelle de $\mathbf{W}(t)$: $\mathbf{W}(t)_{\uparrow} = \mathbf{W}(t)_{\downarrow} \Phi(t)$
où $\Phi(t) = \mathbf{G} \mathbf{D} \mathbf{G}^{-1}$ est appelée **matrice spectrale**
- ▶ Les valeurs propres de $\Phi(t)$ sont les pôles $\{z_k\}_{k \in \{0 \dots K-1\}}$
- ▶ La matrice Φ vérifie $\Phi = (\mathbf{W}_{\downarrow}^H \mathbf{W}_{\downarrow})^{-1} \mathbf{W}_{\downarrow}^H \mathbf{W}_{\uparrow}$
- ▶ Algorithme ESPRIT :

- ▶ Propriété d'invariance rotationnelle de \mathbf{V}^n : $\mathbf{V}^n_{\uparrow} = \mathbf{V}^n_{\downarrow} \mathbf{D}$
- ▶ Formule de changement de base : $\mathbf{V}^n = \mathbf{W} \mathbf{G}$
- ▶ Invariance rotationnelle de $\mathbf{W}(t)$: $\mathbf{W}(t)_{\uparrow} = \mathbf{W}(t)_{\downarrow} \Phi(t)$
où $\Phi(t) = \mathbf{G} \mathbf{D} \mathbf{G}^{-1}$ est appelée **matrice spectrale**
- ▶ Les valeurs propres de $\Phi(t)$ sont les pôles $\{z_k\}_{k \in \{0 \dots K-1\}}$
- ▶ La matrice Φ vérifie $\Phi = (\mathbf{W}_{\downarrow}^H \mathbf{W}_{\downarrow})^{-1} \mathbf{W}_{\downarrow}^H \mathbf{W}_{\uparrow}$
- ▶ Algorithme ESPRIT :
 - ▶ calculer l'estimateur $\hat{\mathbf{R}}_{xx}$ de la matrice \mathbf{R}_{xx} ,

- ▶ Propriété d'invariance rotationnelle de \mathbf{V}^n : $\mathbf{V}^n_{\uparrow} = \mathbf{V}^n_{\downarrow} \mathbf{D}$
- ▶ Formule de changement de base : $\mathbf{V}^n = \mathbf{W} \mathbf{G}$
- ▶ Invariance rotationnelle de $\mathbf{W}(t)$: $\mathbf{W}(t)_{\uparrow} = \mathbf{W}(t)_{\downarrow} \Phi(t)$
où $\Phi(t) = \mathbf{G} \mathbf{D} \mathbf{G}^{-1}$ est appelée **matrice spectrale**
- ▶ Les valeurs propres de $\Phi(t)$ sont les pôles $\{z_k\}_{k \in \{0 \dots K-1\}}$
- ▶ La matrice Φ vérifie $\Phi = (\mathbf{W}_{\downarrow}^H \mathbf{W}_{\downarrow})^{-1} \mathbf{W}_{\downarrow}^H \mathbf{W}_{\uparrow}$
- ▶ Algorithme ESPRIT :
 - ▶ calculer l'estimateur $\hat{\mathbf{R}}_{xx}$ de la matrice \mathbf{R}_{xx} ,
 - ▶ le diagonaliser et en déduire la matrice \mathbf{W} ,

- ▶ Propriété d'invariance rotationnelle de \mathbf{V}^n : $\mathbf{V}^n_{\uparrow} = \mathbf{V}^n_{\downarrow} \mathbf{D}$
- ▶ Formule de changement de base : $\mathbf{V}^n = \mathbf{W} \mathbf{G}$
- ▶ Invariance rotationnelle de $\mathbf{W}(t)$: $\mathbf{W}(t)_{\uparrow} = \mathbf{W}(t)_{\downarrow} \Phi(t)$
où $\Phi(t) = \mathbf{G} \mathbf{D} \mathbf{G}^{-1}$ est appelée **matrice spectrale**
- ▶ Les valeurs propres de $\Phi(t)$ sont les pôles $\{z_k\}_{k \in \{0 \dots K-1\}}$
- ▶ La matrice Φ vérifie $\Phi = (\mathbf{W}_{\downarrow}^H \mathbf{W}_{\downarrow})^{-1} \mathbf{W}_{\downarrow}^H \mathbf{W}_{\uparrow}$
- ▶ Algorithme ESPRIT :
 - ▶ calculer l'estimateur $\hat{\mathbf{R}}_{xx}$ de la matrice \mathbf{R}_{xx} ,
 - ▶ le diagonaliser et en déduire la matrice \mathbf{W} ,
 - ▶ calculer $\Phi = (\mathbf{W}_{\downarrow}^H \mathbf{W}_{\downarrow})^{-1} \mathbf{W}_{\downarrow}^H \mathbf{W}_{\uparrow}$,

- ▶ Propriété d'invariance rotationnelle de \mathbf{V}^n : $\mathbf{V}^n_{\uparrow} = \mathbf{V}^n_{\downarrow} \mathbf{D}$
- ▶ Formule de changement de base : $\mathbf{V}^n = \mathbf{W} \mathbf{G}$
- ▶ Invariance rotationnelle de $\mathbf{W}(t)$: $\mathbf{W}(t)_{\uparrow} = \mathbf{W}(t)_{\downarrow} \Phi(t)$
où $\Phi(t) = \mathbf{G} \mathbf{D} \mathbf{G}^{-1}$ est appelée **matrice spectrale**
- ▶ Les valeurs propres de $\Phi(t)$ sont les pôles $\{z_k\}_{k \in \{0 \dots K-1\}}$
- ▶ La matrice Φ vérifie $\Phi = (\mathbf{W}_{\downarrow}^H \mathbf{W}_{\downarrow})^{-1} \mathbf{W}_{\downarrow}^H \mathbf{W}_{\uparrow}$
- ▶ Algorithme ESPRIT :
 - ▶ calculer l'estimateur $\hat{\mathbf{R}}_{xx}$ de la matrice \mathbf{R}_{xx} ,
 - ▶ le diagonaliser et en déduire la matrice \mathbf{W} ,
 - ▶ calculer $\Phi = (\mathbf{W}_{\downarrow}^H \mathbf{W}_{\downarrow})^{-1} \mathbf{W}_{\downarrow}^H \mathbf{W}_{\uparrow}$,
 - ▶ diagonaliser Φ et en déduire les pôles $\{z_k\}_{k \in \{0 \dots K-1\}}$.

- Soit \mathbf{x} le vecteur $[x[0], x[1], \dots, x[N-1]]^T$ de dimension N

- ▶ Soit \mathbf{x} le vecteur $[x[0], x[1], \dots, x[N-1]]^T$ de dimension N
- ▶ On note \mathbf{V}^N la matrice de Vandermonde contenant N lignes

- ▶ Soit \mathbf{x} le vecteur $[x[0], x[1], \dots, x[N-1]]^T$ de dimension N
- ▶ On note \mathbf{V}^N la matrice de Vandermonde contenant N lignes
- ▶ On note $\alpha = [\alpha_0, \alpha_1, \dots, \alpha_{K-1}]^T$ le vecteur contenant les amplitudes complexes que l'on cherche à estimer

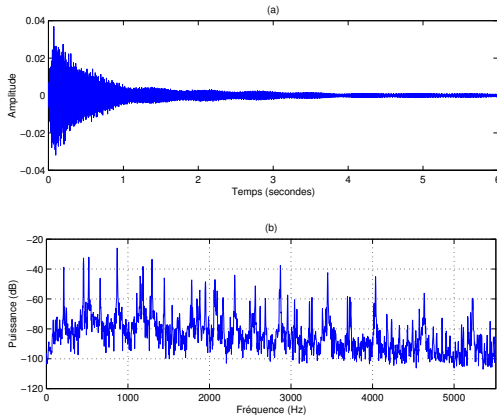
- ▶ Soit \mathbf{x} le vecteur $[x[0], x[1], \dots, x[N-1]]^T$ de dimension N
- ▶ On note \mathbf{V}^N la matrice de Vandermonde contenant N lignes
- ▶ On note $\alpha = [\alpha_0, \alpha_1, \dots, \alpha_{K-1}]^T$ le vecteur contenant les amplitudes complexes que l'on cherche à estimer
- ▶ Le principe du maximum de vraisemblance conduit à utiliser la méthode des moindres carrés : $\hat{\alpha} = \underset{\beta}{\operatorname{argmin}} \|\mathbf{x} - \mathbf{V}^N \beta\|^2$

- ▶ Soit \mathbf{x} le vecteur $[x[0], x[1], \dots, x[N-1]]^T$ de dimension N
- ▶ On note \mathbf{V}^N la matrice de Vandermonde contenant N lignes
- ▶ On note $\alpha = [\alpha_0, \alpha_1, \dots, \alpha_{K-1}]^T$ le vecteur contenant les amplitudes complexes que l'on cherche à estimer
- ▶ Le principe du maximum de vraisemblance conduit à utiliser la méthode des moindres carrés : $\hat{\alpha} = \underset{\beta}{\operatorname{argmin}} \|\mathbf{x} - \mathbf{V}^N \beta\|^2$
- ▶ La solution est $\hat{\alpha} = (\mathbf{V}^{NH} \mathbf{V}^N)^{-1} \mathbf{V}^{NH} \mathbf{x}$

- ▶ Soit \mathbf{x} le vecteur $[x[0], x[1], \dots, x[N-1]]^T$ de dimension N
- ▶ On note \mathbf{V}^N la matrice de Vandermonde contenant N lignes
- ▶ On note $\alpha = [\alpha_0, \alpha_1, \dots, \alpha_{K-1}]^T$ le vecteur contenant les amplitudes complexes que l'on cherche à estimer
- ▶ Le principe du maximum de vraisemblance conduit à utiliser la méthode des moindres carrés : $\hat{\alpha} = \underset{\beta}{\operatorname{argmin}} \|\mathbf{x} - \mathbf{V}^N \beta\|^2$
- ▶ La solution est $\hat{\alpha} = (\mathbf{V}^{NH} \mathbf{V}^N)^{-1} \mathbf{V}^{NH} \mathbf{x}$
- ▶ On en déduit $\hat{a}_k = |\hat{\alpha}_k|$ et $\hat{\phi}_k = \arg(\hat{\alpha}_k)$

Partie III

Signaux à traiter dans le TP



(a) Forme d'onde du signal
(b) Densité spectrale de puissance